

Integrated Guidance and Control Design by Combining Backstepping and Sliding Mode Control Methods

R. Yavari¹, I. Mohammad-Zaman^{2*} and M. R. Arvan³

1, 2 and 3. Department of Electrical and Electronics Academic Complex, MalekAshtar University of Technology

*Postal Code: 15875-1774, Tehran, IRAN

mohammadzaman@mut.ac.ir

In this paper, a novel integrated guidance and control (IGC) approach is designed using the combination of backstepping and sliding mode control methods. In contrast to the traditional methods combining the kinematic and dynamic equations and deriving a state space model as an integrated unit model, the proposed method designs the guidance and control problem in a single loop. This algorithm is robust with respect to the uncertainties in the target acceleration and missile dynamic model. Simulation results using six-degrees-of-freedom simulation aerodynamic model (6DOF) and three-dimension (3-D) engagement show that the proposed IGCdesign, with guidance and control dynamic synergism, eventuates interception with the maneuvering target.

Keywords: Integrated guidance and autopilot, Two point homing interception, Sliding mode control, Backstepping control

1. M. Sc.
2. Assistant Professor (Corresponding Author)
3. Associate Professor

طراحی هدایت و کنترل یکپارچه با ترکیب روش‌های کنترل مد لغزشی و گام به عقب

رضا یاوری^۱، ایمان محمدزمان^{۲*} و محمد رضا عاروان^۳

۱، ۲ و ۳- گروه کنترل، مجتمع دانشگاهی برق و الکترونیک، دانشگاه صنعتی مالک اشتر

*تهران، کد پستی ۱۷۷۴-۱۵۸۷۵

mohammadzaman@mut.ac.ir

در این مقاله، طراحی هدایت و کنترل یکپارچه با ترکیب روش‌های کنترل مد لغزشی و گام به عقب صورت گرفته است. این روش برخلاف روش‌های سنتی موجود با تلفیق معادلات سینماتیکی و دینامیکی و استخراج یک فضای حالت یکه به صورت مدل‌سازی یکپارچه، با مستقله طراحی هدایت-کنترل به صورت یک تک حلقه برخورد می‌کند. روش فوق در مقابل نامعینی‌های ناشی از مدل دینامیکی رهگیر و شتاب هدف مقاوم است. نتایج شبیه‌سازی در سه بعد با در نظر گرفتن دینامیک شش درجه آزادی نشان می‌دهد که طراحی هدایت و کنترل یکپارچه با هم‌افزایی زیر سیستم‌های هدایت و کنترل منجر به برخورد مناسب با هدف مانوردار می‌شود.

واژه‌های کلیدی: هدایت و کنترل یکپارچه، رهگیری دونقطه‌ای آشیانه‌اب، کنترل مد لغزشی و گام به عقب

<i>Q</i>	فشار دینامیکی	علائم و اختصارات
c_i^j	تعییر نیروی \dot{A} نسبت به پارامتر آبرو دینامیکی \dot{J}	جرم رهگیر
m_i^j	تعییر گشتاور \dot{A} نسبت به پارامتر آبرو دینامیکی \dot{J}	اندازه سرعت رهگیر
Δ_i ، $\ \Delta_i\ $	نامعینی و نرم بی‌نهایت آن	لختی دورانی رهگیر در راستای محور طولی
$\delta_x, \delta_y, \delta_z$	انحراف سطوح کنترلی عملکر آبرو دینامیک سه بعد	لختی دورانی رهگیر در راستای محور عرضی
α, β	زاویه حمله و سرش جانبی	لختی دورانی رهگیر در راستای محور عمقی
$(a_{MR}, a_{M\theta_L}, a_{M\psi_L})$	مؤلفه‌های شتاب رهگیر در دستگاه خط دید	نرخ غلشن، خمش و گردش
$(a_{TR}, a_{T\theta_L}, a_{T\psi_L})$	مؤلفه‌های شتاب هدف در دستگاه خط دید	مؤلفه‌های شتاب رهگیر در دستگاه بدنی
θ_L	زاویه خط دید در راستای عرضی	طول و سطح مرجع رهگیر
ψ_L	زاویه خط دید در راستای عمقی	سطوح لغزش
$\dot{\theta}_L$	نرخ چرخش خط دید در راستای عرضی	توابع لیاپانوف
$\dot{\psi}_L$	نرخ چرخش خط دید در راستای عمقی	
R, \dot{R}	فاصله رهگیر و هدف و سرعت نسبی بین آنها	

۱. کارشناس ارشد

۲. استادیار (نویسنده مخاطب)

۳. دانشیار

بالک حلقة درونی ریدیابی شود. در مرجع [۷] یک رویکرد کنترل مدلغزشی بدون نیاز به تقریب پیوسته اصلاحی، بهدلیل کلیدزنی بیش از حد تلاش کنترل موجود در مرجع [۶]، استخراج شده است. در مرجع [۸] یک سیستم هدایت و کنترل یکپارچه و جفت کنترلی استفاده شده و از یک رویکرد حلقة داخلی- خارجی برای پیادهسازی روش طراحی بهره گرفته است. از طرفی، دینامیک رهگیر استاندارد به طور کامل استفاده نشده است و سیگنال ورودی کنترل طراحی شده مناسب نیست. در مرجع [۹]، فاصله از دستدهی تلاش صفر به عنوان مرجعی برای تعریف سطح لغزش در نظر گرفته شده است. به اشباع رفتن عملگرها و بحث پایداری مود داخلی و تعداد متغیرهای بسیار زیاد برای محاسبه ورودی کنترل را می‌توان از معایب این مرجع مطرح کرد. از طرفی، استفاده از یک روش ساده طراحی، در نظر گرفتن دینامیک به طور کامل، تعیین هنرمندانه روش‌های خطی و برخورد با خطای از دستدهی صفر از مزایای این مقاله است.

در مرجع [۱۰] یک روش هدایت و کنترل یکپارچه بر مبنای روش گام به عقب با تکیه بر تحلیل پایداری لیپاونوف^۵ با تعریف یکتابع انرژی مناسب ارائه شده است. در مرجع [۱۱] طراحی هدایت و کنترل یکپارچه به روش گام به عقب بر پایه روش کنترل مدلغزشی انتگرالی صورت گرفته است. این طراحی در دو بعد برای کانال خمس صورت گرفته است که به علت انتگرالی بودن در مقابل عوامل نامعینی و اغتشاش مقاوم بوده و دارای دامنه سیگنال کنترلی به صورت نسبی بالا و نیز همگرانی مجذوب با تکیه بر تعریف نرخ چرخش خط دید در راهبرد هدایت است. از معایب این روش طراحی، تغییرات ابتدایی بالای تلاش کنترلی در قالب انحراف بالک آبرودینامیکی با توجه به شبیه‌سازی انجام شده، است.

در این مقاله، مدل‌سازی دینامیکی و سینماتیکی یک جسم پرنده با تلفیق این معادلات و ارائه یک مدل یکپارچه دینامیک و سینماتیک انجام شده است. همچنین، زمینه برای اعمال یک روش طراحی مناسب روش کنترل مدلغزشی، با تکیه بر کنترل گام به عقب برای انتخاب سطح لغزش مناسب، با توجه به طبیعت فضای حالت آن مهبا شده است. جسم پرنده به صورت یک رهگیر آشیانه‌یاب بر مبنای ناوبری موازی با کنترل آبرودینامیک گردش با سکان^۶ و مشخصه نداشتن چرخش حول کانال طولی در نظر گرفته می‌شود. همچنین، قانون هدایت و کنترل یکپارچه مدلغزشی زمان محدود با تکیه بر تحلیل پایداری لیپاونوف ارائه شده است. در این روش سطح لغزش به کمک کنترل گام به عقب انتخاب می‌شود و نیازی به دانستن مقدار یا تخمين مانور هدف برای محاسبه ورودی کنترل نیست. در واقع روش طراحی در مقابل نامعینی‌های ناشی از

مقدمه

روش کلاسیک هدایت و کنترل رویکردی است که با زیرسیستم‌های هدایت و کنترل به عنوان دو فرایند جداگانه برخورد می‌کند. روال کار به این صورت است که هدایت به عنوان یک حلقة خارجی وظيفة تولید یک مانور مناسب را بر عهده دارد که در نهایت این مانور باید توسط خود خلبان به عنوان یک حلقة داخلی ریدیابی شود [۱]. با وجود این که روش فوق طی سال‌های زیادی به صورت موفق به سیستم‌های هدایت و کنترل رهگیر اعمال شده است اما از آنجاکه حلقه‌های هدایت و کنترل در فرکانس‌های متفاوتی عمل می‌کند، باعث ایجاد تأخیر ذاتی بین دو حلقة خارجی و داخلی می‌شود. علاوه بر آن، فرایند طراحی سامانه هدایت و کنترل مستلزم صرف زمان زیاد بهدلیل تکراری بودن روال رفت و برگشتی بین طراحی زیرسیستم‌های هدایت و کنترل است. به گونه‌ای که اگر یک سیستم هدایت و کنترل بهینه مدنظر باشد، طراحی آن به صورت جداگانه برای این زیرسیستم‌ها شاید نتواند یک سیستم هدایت و کنترل بهینه را نتیجه دهد [۴-۲].

یک راه حل جایگزین که بتواند عملکرد کلی سیستم را با اجتناب از حلقه‌های تکراری بهبود بخشد، آن است که رویکرد طراحی سامانه‌های هدایت و کنترل به صورت یکپارچه با هم انجام و در قالب یک حلقة پیاده‌سازی شود. با کاهش فرایند طراحی و هم‌افزایی بین دینامیک‌های هدایت و کنترل در نوع یکپارچه توانایی بالقوه‌ای در بهبود عملکرد در طی فاز نهایی رهگیر و همچنین، به دست آوردن مقدار قابل قبول فاصله از دستدهی ایجاد خواهد شد [۱۱-۵].

در سال‌های اخیر، روش‌های مختلفی به منظور طراحی هدایت و کنترل یکپارچه ارائه شده است. از جمله آن‌ها می‌توان به روش‌های کنترل بهینه، کنترل مقاوم و تئوری‌های غیرخطی اشاره کرد. در سالیان اخیر یکی از این روش‌ها استفاده از کنترل مدلغزشی است که از مزیت‌های آن می‌توان به مقاوم بودن در مقابل نامعینی و اغتشاش اشاره کرد. در مرجع [۳] از کنترل مدلغزشی مرتبه اول برای ایجاد یک سیستم هدایت و کنترل یکپارچه برای رهگیرهای آشیانه‌یاب بهره‌گیری شده است. از مزایای این روش می‌توان به مقاوم بودن در مقابل نامعینی و اغتشاش ناشی از شتاب هدف و از معایب آن می‌توان به نوسانی بودن و کلیدزنی بیش از حد ورودی طراحی شده نام برد. در مراجع [۴-۶]، با استفاده از نرخ چرخش خط دید، مشتقات آن، سرعت جانبی در راستای عمود بر خط دید و انتخاب سطوح لغزش براساس آن‌ها، طراحی هدایت و کنترل یکپارچه صورت گرفته است. در این مقالات از رویکرد حلقة داخلی- خارجی استفاده شده که توسط حلقة بیرونی یک فرمان خمس^۷ تولید شده و در نهایت باید با تغییر سطوح

ورودی u صورت گیرد. به عبارت ساده‌تر u نمی‌تواند به صورت مستقیم روی متغیر حالت اول η تأثیر بگذارد، بلکه با دینامیکی که به صورت $\dot{\phi} \rightarrow \dot{\xi}$ ایجاد می‌کند، هدف پایداری η حول صفر را تحقق می‌بخشد. با تعریف سطح لغزش به صورت $\dot{\phi} - \dot{\xi} = S$ زیر فضای حالت تغییر داده شده و مسئله از حالت طراحی ورودی- خروجی که لازمه آن بررسی شرایط ارضی پایداری داخلی است، به مسئله پایداری S حول صفر توسط ورودی کنترل u تبدیل می‌شود. با طراحی ورودی کنترل زمان محدود، طی زمانی محدود $(\eta, t_f) = \dot{\xi}$ خواهد شد و ارضی شرایط باعث پایداری η حول همسایگی صفر می‌شود؛ که این همان هدف حل مسئله است. به عبارت دیگر، یک مسئله طراحی ورودی- خروجی با n متغیر حالت می‌تواند به یک طراحی مرتبه اول به کمک کنترل مد لغزشی به صورت زیر تبدیل شود [۱۳]:

$$\begin{aligned} \dot{s} &= f_a(\eta, \xi) + G_a(\eta, \xi)[u + \delta_\eta(\eta, \xi, u)] \\ \frac{\partial \varphi}{\partial \eta} &[f_1(\eta, \varphi(\eta)) + \delta_\eta(\eta, \varphi(\eta))] \end{aligned} \quad (2)$$

که در معادله بالا داریم:

$$S = \dot{\xi} - \varphi_c \Rightarrow \dot{\xi}(t) = \varphi(\eta); t \geq t_f \quad (3)$$

حال می‌توان قانون کنترلی به صورت زیر ارائه کرد [۱۵]:

$$u = u_{eq} + G_a(\eta, \xi)^{-1} v; u_{eq} = G_a^{-1}[-f_a + \frac{\partial \phi}{\partial \eta} f_1] \quad (4)$$

در نهایت با قراردادن قانون کنترل (۴) طراحی سیستم به یک طراحی مرتبه اول استاندارد برای اعمال کنترل مد لغزش با جزئیات زیر تبدیل شده است:

$$\begin{aligned} \dot{s} &= v + \Delta(\eta, \xi, v) \\ \Delta(\eta, \xi, v) &= G_a(\eta, \xi) [\delta_\xi(\eta, \xi, u_{eq}) + \\ &\quad G_a(\eta, \xi)^{-1} v] - \frac{\partial \varphi}{\partial \eta} \delta_\eta(\eta, \varphi(\eta)) \end{aligned} \quad (5)$$

که در آن داریم [۱۳ و ۱۴]:

$$V = \frac{1}{2} s^2 \rightarrow \dot{V} = s \dot{s} < 0 \quad (6)$$

$$\dot{V} = sv + s\Delta(\eta, \xi, v) \Rightarrow v = -K(\eta, \xi) \operatorname{sgn}(s)$$

که در اینجا تعیین $(\xi, \eta) K$ به حدود نامعینی و مشخصه آن بر می‌گردد و sgn تابع علامت در ریاضی است که برای پوشش دادن بحث وز- وز^۷ و ناپیوستگی در صفر می‌تواند با تابع اشباع جایگزین شود. یکی از کاندیدهای ϕ استفاده از تئوری کنترل گام

مانور هدف و نیز مدل آبرو دینامیک رهگیر مقاوم است. با توجه به ماهیت زمان محدود در گیری رهگیر و هدف در این طراحی از روشی با همگرایی زمان محدود بهره برده [۱۲] و در قانون کنترل ملاحظات عملی در نظر گرفته شده است. یکی از ملاحظات عملی، عدم استفاده از مشتقات مرتبه بالای نزخ چرخش خط دید در قانون هدایت است که به وسیله حسگرها قابل اندازه‌گیری نیست. ضرایب آبرو دینامیکی رهگیر همراه با نامعینی استفاده می‌شود و اثر خطای ناشی از آن‌ها با انجام شبیه‌سازی مورد بررسی می‌گیرد.

مطالب ارائه شده در این مقاله در ادامه سازماندهی شده است. در بخش دوم، مفاهیم ریاضی و فرمول‌نویسی و تعاریف و راهبرد طراحی ارائه شده است. در بخش سوم، به مدل سازی سینماتیکی یک رهگیر و هدف در صفحه سه‌بعدی پرداخته شده است. در ادامه، در بخش چهارم با بیان مدل دینامیکی شش درجه آزادی رهگیر، یک مدل یکپارچه برای طراحی سیستم هدایت و کنترل یکپارچه استخراج شده است. سپس، در بخش پنجم طراحی سیستم هدایت و کنترل به صورت یکپارچه با تکیه بر اصل ثابت ماندن زاویه خط دید، که نوآوری اصلی این مقاله است، آورده می‌شود. در بخش ششم، نتایج حاصل از شبیه‌سازی‌ها در درگیری سه بعدی و مقایسه نتایج آن با یکی از مراجع اخیر آورده می‌شود و بخش پایانی مقاله به نتیجه‌گیری اختصاص دارد.

بیان تعریف‌ها و قضیه‌های ریاضی راهبرد طراحی

یک مدل فضای حالت را به شکل استاندارد مطابق رابطه (۱) در نظر بگیرید [۱۴، ۱۳]:

$$\begin{aligned} \dot{\eta} &= f_1(\eta, \xi) + \delta_\eta(\eta, \xi) \\ \dot{\xi} &= f_a(\eta, \xi) + G_a(\eta, \xi)[u + \delta_\xi(\eta, \xi, u)] \end{aligned} \quad (1)$$

که در آن $u = (\xi, \eta)$ ، $\dot{\xi} = (\eta, \xi, u)$ به ترتیب ورودی کنترل، متغیرهای حالت و نامعینی تطبیق یافته و δ_η نامعینی تطبیق نیافته است. توجه کنید که $(\eta, \xi, u) \in \mathcal{D}$ شرایط تطبیق را ارضا می‌کند و بنابراین بر سیستم همان تأثیری را دارد که ورودی کنترل u می‌گذارد و همچنین $G_a, f_1, f_a \neq 0$ توابعی به صورت تکه‌ای پیوسته از متغیرهای فضای حالت هستند.

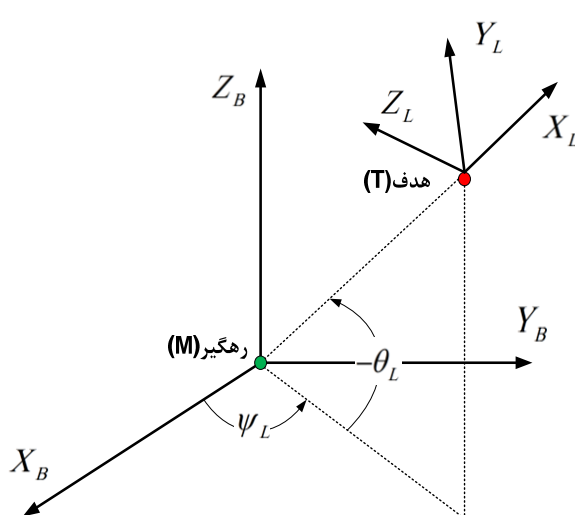
فرض نمایید هدف، پایداری متغیر حالت η حول نقطه تعادل صفر به کمک ورودی کنترل u باشد. این کار باید با درنظر گرفتن پایداری داخلی طی یک سری مراحل تو در تو و گام به عقب با رفتار مناسب متغیرهای حالت دیگر به صورت $\dot{\phi} \rightarrow \dot{\xi}$ توسط

مدل سازی

در این قسمت برای پیاده‌سازی روش هدایت و کنترل یکپارچه درگیری دو نقطه‌ای، یک رهگیر آشیانه‌یاب در نظر گرفته می‌شود. ابتدا مدل سینماتیکی درگیری رهگیر با هدف و سپس مدل دینامیکی گردش با سکان با متغیرهای فضایی حالت زاویه حمله^۸، زاویه سرش جانبی^۹ و نرخ خمش^{۱۰}، گردش^{۱۱} و نیز خروجی‌های شتاب کانال‌ها در دستگاه بدنی در نظر گرفته شده است. در نهایت با تلفیق معادلات سینماتیک درگیری رهگیر و هدف با دینامیک رهگیر دارای کنترل آبرو دینامیکی مدل استاندارد یکپارچه‌ای برای طراحی سامانه هدایت و کنترل رهگیر مهیا می‌شود.

مدل سازی سینماتیکی

در شکل (۱) نمایی از درگیری سه بعدی جسم پرنده و هدف به تصویر کشیده شده است. مطابق با مراجع [۱۹، ۱۸] سه دستگاه کارتزین اینرسی $\{X_I Y_I Z_I\}$ ، بدنی $\{X_B Y_B Z_B\}$ ، و خط دید $\{X_L Y_L Z_L\}$ به گونه‌ای صحیح تعریف می‌شوند.



شکل ۱- نمایی از هندسه درگیری دو نقطه‌ای رهگیر و هدف

نمادهای M و T به ترتیب بیان گر رهگیر و هدف هستند. به کمک قانون کریولیس در مورد هندسه درگیری دو نقطه‌ای در یک فضای سه بعدی و در فاز نهایی می‌توان رابطه (۱۱) را نوشت [۲۰]. در مجموعه روابط (۱۱) مؤلفه‌های شتاب رهگیر و هدف در راستای مؤلفه‌های یکه $(\hat{e}_R, \hat{e}_{\theta_L}, \hat{e}_{\psi_L})$ در دستگاه خط دید و زوایای خط دید با دو مؤلفه θ_L, ψ_L بیان شده‌اند.

8. Angle of Attack

9. Angle of Sideslip

10. Pitch Rate

11. Yaw Rate

به عقب است. طراحی ورودی کنترل u توسط کنترل مد لغزشی با اراضی شرایط پایداری به کمکتابع شبیه انرژی لیاپانوف و با اثبات پایداری زمان محدود صورت گرفته است.

تعریف ۱: سیستم غیرخطی زیر را درنظر بگیرید [۱۶]:

$$\dot{x}(t) = f(x, t), f(0, t) = 0, x \in \mathbb{R}^n \quad (۷)$$

که در آن $f: U_0 \times R \rightarrow R^n$ در یک همسایگی باز $U_0 \times R$ از مبدأ پیوسته است. نقطه تعادل $x = 0$ پایدار زمان محدود محلی است اگر:

(الف) در همسایگی باز $U \subseteq U_0$ از مبدأ پایدار مجانبی باشد.

(ب) در U همگرایی زمان محدود باشد، بدین معنا که برای هر حالت اولیه $x_0 \in U / \{0\}$ یک زمان نشست وابسته به شرایط اولیه x_0 به صورت $T > 0$ وجود داشته باشد. به طوری که، هر پاسخ سیستم (۷) که با $v(t, x_0) \in U / \{0\}$ نشان داده می‌شود دارای شرایط زیر باشد:

$$\begin{cases} \lim_{t \rightarrow T(x_0)} v(t, x_0) = 0, & t \in [0, T(x_0)] \\ v(t, x_0) = 0, & t \geq T(x_0) \end{cases} \quad (۸)$$

علاوه براین، اگر $U = R^n$ باشد آنگاه مبدأ یک نقطه تعادل پایدار زمان محدود فراگیر است.

قضیه ۱: سیستم غیرخطی توصیف شده با معادله (۷) را درنظر بگیرید. فرض کنید که یک تابع C^1 (به طور پیوسته مشتق پذیر) به صورت $V(x, t)$ تعریف شده در یک همسایگی $\hat{U} \subset R^n$ از مبدأ و اعداد حقیقی $k > 0$ و $\gamma < 1$ وجود دارند. به طوری که، در \hat{U} $\dot{V}(x, t) + kV^\gamma(x, t) \leq 0$ در \hat{U} مثبت معین و $V(x, t)$ در \hat{U} برقرار باشد، آن گاه مبدأ نقطه تعادل زمان محدود برای سیستم (۷) است. برای زمان نشست T در طراحی زمان محدود می‌توان نوشت [۱۷]:

$$\dot{V}(x, t) \leq -kV^\gamma(x, t) \Rightarrow T \leq \frac{V^{1-\gamma}(x_0, 0)}{k(1-\gamma)} \quad (۹)$$

لم ۱: برای $b \in R$, $a \in R$ ناتساوی مثلث به صورت زیر برقرار است [۱۷]:

$$\sqrt{a^2 + b^2} \leq |a| + |b| \quad (۱۰)$$

با توجه به مقدار کوچک جمله‌های شامل انحراف سطح‌های عملگر آیرودینامیک (δ_z, δ_y) در سطر (β, α) فضای حالت و با صرف نظر از آن‌ها در مقابل مؤلفه زاویه حمله و سرش جانبی، معادله‌های شتاب تولید شده در دستگاه بدنی با فرض پایداری کanal غلتش^{۱۲} به همراه فضای حالت متشکل از r, q, β, α در دو راستای YB و ZB جسم پرنده، به صورت زیر مدل شده است:[۲۴]

$$\begin{aligned} a_{My_B} &= \frac{QS}{m} c_y^\alpha \beta + \Delta y_B; c_y^\beta >> c_y^\alpha, c_y^{\delta_z} \\ a_{Mz_B} &= \frac{QS}{m} c_z^\alpha \alpha + \Delta z_B; c_z^\alpha >> c_z^\beta, c_z^{\delta_z} \\ \dot{\alpha} &= -\frac{QSc_z^\alpha}{mV_M} \alpha + q + \Delta \alpha; c_z^\alpha >> c_z^{\delta_z} \\ \dot{\beta} &= -\frac{QSc_y^\beta}{mV_M} \beta + r + \Delta \beta; c_y^\beta >> c_z^{\delta_z} \quad (13) \\ \dot{q} &= \frac{QSLm_y^\alpha \alpha}{I_{yy}} + \frac{QSLm_y^{\delta_z} \delta_z}{I_{yy}} + \Delta q \\ \dot{r} &= \frac{QSLm_z^\beta \beta}{I_{zz}} + \frac{QSLm_z^{\delta_z} \delta_y}{I_{zz}} + \Delta r \end{aligned}$$

که این معادلات به صورت خطی با ضرایب متغیر با پارامتر جدول‌بندی شده با نامعینی Δ_i در آن سطر از معادله بیان شده‌اند. شایان ذکر است که شتاب هدف دارای دینامیک مرتبه اول پایدار با یک ثابت زمانی معین و دارای مقدار و نرخ زمانی محدود بوده و به صورت نامعینی در نظر گرفته می‌شود. همچنین، از دینامیک و نویز سنسورهای سیستم کنترل و جستجوگر در مدل‌سازی صرف نظر شده است.

مدل‌سازی یکپارچه دینامیک و سینماتیک

با توجه به اصل خط دید ثابت در رهگیری دو نقطه‌ای، مدل یکپارچه سامانه با تلفیق معادلات سینماتیک و دینامیک به صورت رابطه (۱۴) ارائه می‌شود.

در رابطه (۱۴) C_B^L ماتریس دوران از دستگاه بدنی به خط دید به منظور انتقال مؤلفه‌های شتاب رهگیر آیرودینامیک به دستگاه

$$\begin{aligned} \ddot{R} - R\dot{\theta}_L^2 - r\dot{\psi}_L^2 \cos^2(\theta_L) &= a_{TR} - a_{MR} = a_R \\ R\ddot{\theta}_L + 2\dot{R}\dot{\theta}_L + \\ R\dot{\psi}_L^2 \sin(\theta_L) \cos(\theta_L) &= -(a_{T\theta_L} - a_{M\theta_L}) = a_{\theta_L} \quad (11) \\ R\dot{\psi}_L \cos(\theta_L) + 2\dot{R}\dot{\psi}_L \cos(\theta_L) - \\ 2R\dot{\theta}_L \dot{\psi}_L \sin(\theta_L) &= a_{T\psi_L} - a_{M\psi_L} = a_{\psi_L} \\ R &= \sqrt{(x_T - x_M)^2 + (y_T - y_M)^2 + (z_T - z_M)^2} \end{aligned}$$

مدل‌سازی دینامیکی

مدل فضای حالت یک رهگیر مدل با عملگر آیرودینامیک با توجه به مراجع مختلف شبیه‌سازی شش درجه آزادی [۲۴-۲۱] در کanal خمش و گردش می‌تواند به صورت غیرخطی ارائه شود و یا با ضرایب حاصل از تونل باد و متغیرهای جدول‌بندی یک مدل خطی نامی همراه با نامعینی باشد. روش مقاله حاضر، مدل‌سازی دینامیکی آیرودینامیک خطی نامی همراه با نامعینی است. در زیر معادلات شش درجه آزادی نیروها و گشتاورهای رهگیر آیرودینامیک در دستگاه بدنی آورده شده است:

$$\begin{cases} F_x = ma_{Mx_B} \\ F_y = ma_{My_B} \\ F_z = ma_{Mz_B} \end{cases} \Rightarrow a_{Mx_B} = \frac{QS}{m} (c_x^\alpha + c_x^\beta |\alpha| + c_x^\delta |\beta| + c_x^{\alpha\beta} |\alpha\beta| + c_x^{\delta_x} |\delta_x| + c_x^{\delta_y} |\delta_y| + c_x^{\delta_z} |\delta_z|) \Rightarrow a_{My_B} = \frac{QS}{m} (c_y^\alpha \alpha + c_y^\beta \beta + c_y^{\delta_y} \delta_y) \Rightarrow a_{Mz_B} = \frac{QS}{m} (c_z^\alpha \alpha + c_z^\beta \beta + c_z^{\delta_z} \delta_z) \quad (12)$$

$$\begin{cases} M_x = I_{xx} \dot{p} + (I_{yy} - I_{zz}) qr \\ M_y = I_{yy} \dot{q} - (I_{zz} - I_{xx}) pr \\ M_z = I_{zz} \dot{r} - (I_{xx} - I_{yy}) qp \end{cases} \Rightarrow M_x = QSL (m_x^\alpha \alpha + m_x^\beta \beta + m_x^{\delta_x} \delta_x) \Rightarrow M_y = QSL (m_y^\alpha \alpha + m_y^{\delta_z} \delta_z) \Rightarrow M_z = QSL (m_z^\beta \beta + m_z^{\delta_y} \delta_y)$$

انجام شده است. برای صفر نمودن $s_1 = q - q_c$, $s_2 = r - r_c$ نزخ چرخش خط دید توسط طراحی بردار دوتایی قانون کنترل فرض $k_i = 2^{-\gamma} k$; $i = 1, \dots, 6$ وجود دارد و از طرفی طراحی در مقابل نامعینی و اغتشاش مقاوم است. از این‌رو، بردار سطح لغش $\bar{S} = [s_1, s_2]^T$ با توجه بهتابع لیاپانوف موجود در رابطه (۶) و با اراضی شرایط زمان محدود بودن طبق رابطه (۹) و نیز با استفاده از لم ۱ باید صفر گردد. با مقادیر مناسب در نظر گرفته شده برای ورودی‌های کنترل و دینامیک‌های مطلوب گفته شده با اثبات زمان محدود طراحی می‌توان رابطه (۱۶) را نوشت:

$$\dot{V} = -k_1 |\omega_y|^{2\gamma} - k_1 |\omega_z|^{2\gamma} - k_3 |\alpha - \alpha_c|^{2\gamma} - k_4 |\beta - \beta_c|^{2\gamma} - k_5 |s_1|^{2\gamma} - k_6 |s_2|^{2\gamma} \Rightarrow \dot{V} \leq -k(V)^{\gamma} \quad (16)$$

که با بسط مشتق تابع انرژی لیاپانوف (با خودداری از آوردن آن بهدلیل حجم بودن عملیات جبری)، پارامترهای طراحی زمان محدود کنترل مد لغشی به دست می‌آید.

با توجه به تئوری کنترل مد لغشی انتگرالی نیز می‌توان طراحی هدایت و کنترل یکپارچه را به صورت رابطه (۱۷) انجام داد

: [۲۷-۲۵]

$$\begin{aligned} s(x; t) &= g(x) - z(t); \\ s(x, t) &\in \Re^m; g(x) = \begin{bmatrix} q - q_c \\ r - r_c \end{bmatrix} \\ t_0 &= 0, g(x_0) = \begin{bmatrix} q(0) - q_c(0) \\ r(0) - r_c(0) \end{bmatrix} \quad (17) \\ z(t) &= g(x_0) + \int_{t_0}^t G(x)[f(x, t) + \end{aligned}$$

$$B(x)u_0(x, t)]dt;$$

$$G(x) = \frac{\partial g(x)}{\partial x} = \begin{bmatrix} 1 & 0 \\ 0 & 1 \end{bmatrix}, B(x) = \begin{bmatrix} \frac{QSLm_y^{\delta_y}}{I_{yy}} & 0 \\ 0 & \frac{QSLm_z^{\delta_z}}{I_{zz}} \end{bmatrix},$$

$$f(x) = \begin{bmatrix} \frac{QSLm_y^{\alpha}\alpha}{I_{yy}} \\ \frac{QSLm_z^{\beta}\beta}{I_{zz}} \end{bmatrix}$$

ورودی‌های کنترل در حالت اول مانند رابطه (۱۸) بیان می‌شود.

در این رابطه، ضریب k بزرگ‌تر مساوی نرم بی‌نهایت باند نامعینی کلی $k_i \geq |\Delta_i|_\infty$ (با درنظر گرفتن مشتق تابع انرژی لیاپانوف) است.

خط دید (بهمنظور برقراری ارتباط بین معادلات سینماتیک و دینامیک رهگیر) است.

$$\begin{cases} \dot{\psi}_L = -\frac{2\dot{R}\psi_L}{R} + \frac{2R\dot{\theta}_L\psi_L \sin(\theta_L)}{\cos(\theta_L)} - \\ \frac{1}{R\cos(\theta_L)} C_{\psi_L} \frac{QS}{m} c_y^\beta \beta + \Delta_{\psi_L} \\ \dot{\theta}_L = -\frac{2\dot{R}\theta_L}{R} - \dot{\psi}_L^2 \sin(\theta_L) \cos(\theta_L) + \\ \frac{1}{R} C_{\theta_L} \frac{QS}{m} c_z^\alpha \alpha + \Delta_{\theta_L} \\ \dot{\alpha} = -\frac{QS c_z^\alpha}{m V_M} \alpha + q + \Delta_\alpha \\ \dot{\beta} = -\frac{QS c_y^\beta}{m V_M} \beta + r + \Delta_\beta \\ \dot{q} = \frac{QSLm_y^{\alpha}\alpha}{I_{yy}} + \frac{QSLm_y^{\delta_z}\delta_z}{I_{yy}} + \Delta_q \\ \dot{r} = \frac{QSLm_z^{\beta}\beta}{I_{zz}} + \frac{QSLm_z^{\delta_y}\delta_y}{I_{zz}} + \Delta_r \\ L \bar{a}_M = {}^L_C B \bar{a}_M = {}^L_R X Y Z (\phi_L = 0, \theta_L, \psi_L) {}^B \bar{a}_M \end{cases} \quad (14)$$

$$\begin{cases} C_{\psi_L} = \cos(\psi_L), \dots \\ S_{\psi_L} = \sin(\psi_L), \dots \end{cases} \Rightarrow {}^L_C = \begin{bmatrix} C_{\psi_L} C_{\theta_L} & S_{\psi_L} C_{\theta_L} & -S_{\theta_L} \\ -S_{\psi_L} & C_{\psi_L} & 0 \\ C_{\psi_L} S_{\theta_L} & S_{\psi_L} S_{\theta_L} & C_{\theta_L} \end{bmatrix}$$

$$\Rightarrow \begin{cases} a_M \psi_L = C_{\psi_L} a_M y_B + \Delta a_M \psi_L \\ a_M \theta_L = C_{\theta_L} a_M z_B + \Delta a_M \theta_L \end{cases}$$

طراحی هدایت و کنترل یکپارچه

با توجه به نکاتی که گفته شد، قانون هدایت و کنترل یکپارچه براساس اصل ثابت ماندن خط دید طراحی می‌شود. کاندیدهای تابع شبه انرژی به کمک مقادیر مطلوب α_c , β_c , α_c , β_c و r_c با تکیه بر کنترل گام به عقب در رابطه (۱۵) ارائه شده است:

$$\begin{aligned} V_1 &= \frac{1}{2} \eta_1^2 \rightarrow V_1 < 0 \Rightarrow \alpha_c \\ V_3 &= \frac{1}{2} (\eta_1^2 + \eta_3^2) \rightarrow V_3 < 0 \Rightarrow q_c \quad (15) \\ V_2 &= \frac{1}{2} \eta_2^2 \rightarrow V_2 < 0 \Rightarrow \beta_c \\ V_4 &= \frac{1}{2} (\eta_2^2 + \eta_4^2) \rightarrow V_4 < 0 \Rightarrow r_c \\ \eta_2 &= \dot{\psi}_L, \eta_1 = \dot{\theta}_L, \eta_3 = \dot{q}, \eta_4 = \dot{r} \end{aligned}$$

که در این معادلات تعریف متغیرها به صورت $\dot{\psi}_L = \beta - \beta_c$, $\eta_3 = \alpha - \alpha_c$ و $\eta_4 = \beta - \beta_c$, $\eta_3 = \alpha - \alpha_c$ همچنین سطح لغش به صورت

جدول ۱- مقادیر عددی شرایط اولیه با توجه به سناریوی شبیه‌سازی

نام	مقدار اولیه	نام	مقدار اولیه
$x_t(0)$	$[3000 \ 0 \ 300]^T m$	$V_t(0)$	$[30 \ 0 \ 40]^T /s$
$x_m(0)$	$[0 \ 3000 \ 0]^T m$	$V_m(0)$	$200 m/s$
$\theta(0)$	$0.01 rad$	$\varphi(0)$	$0 rad$
$\psi_v(0)$	$-0.01 rad$	$\psi(0)$	$0.01 rad$
$p(0)$	$0.1 rad/s$	$q(0)$	$0.1 rad/s$
$r(0)$	$0.1 rad/s$	k_i	$0.1; i=1,2,3,4$ $8; i=5,6$

جدول ۲- مقادیر عددی خرایب آبرودینامیک سناریوی شبیه‌سازی

نام	مقدار	نام	مقدار
$m(kg)$	$1200(1 + 0.1N_T)$	$c_{x0}(N/rad)$	$0.32(1 + 0.2N_T)$
$P(N/m^2)$	$3500(1 + 0.1N_T)$	$c_x^\alpha(N/rad)$	$0.21(1 + 0.2N_T)$
$I_{xx}(kg.m^2)$	$100(1 + 0.1N_T)$	$c_x^\beta(N/rad)$	$0.19(1 + 0.2N_T)$
$I_{yy}(kg.m^2)$	$5700(1 + 0.1N_T)$	$c_x^{\delta_z}(N/rad)$	$0.06(1 + 0.2N_T)$
$I_{zz}(kg.m^2)$	$5600(1 + 0.1N_T)$	$c_x^{\delta_x}(N/rad)$	$0.05(1 + 0.2N_T)$
$S(m^2)$	$0.42(1 + 0.1N_T)$	$c_x^{\alpha\beta}(N/rad^2)$	$25.38(1 + 0.2N_T)$
$L(m)$	$0.68(1 + 0.1N_T)$	$c_y^\alpha(N/rad)$	$57.16(1 + 0.2N_T)$
$m_x^{\delta_x}(N.m/rad)$	$2.12(1 + 0.2N_T)$	$c_y^{\delta_z}(N/rad)$	$5.74(1 + 0.2N_T)$
$m_x^\alpha(N.m/rad)$	$0.46(1 + 0.2N_T)$	$c_y^\beta(N/rad)$	$-0.08(1 + 0.2N_T)$
$m_x^\beta(N.m/rad)$	$-0.37(1 + 0.2N_T)$	$c_z^\beta(N/rad)$	$-56.31(1 + 0.2N_T)$
$m_z^\alpha(N.m/rad)$	$-28.16(1 + 0.2N_T)$	$c_z^{\delta_y}(N/rad)$	$-5.62(1 + 0.2N_T)$
$m_z^{\delta_z}(N.m/rad)$	$-27.92(1 + 0.2N_T)$	$c_z^\alpha(N/rad)$	$0.09(1 + 0.2N_T)$
$m_y^\beta(N.m/rad)$	$-27.31(1 + 0.2N_T)$	$m_y^{\delta_y}(N.m/rad)$	$-26.57(1 + 0.2N_T)$

با فرض $N(0,1)$ بهصورت یک عدد با توزیع نرمال میانگین صفر و انحراف معیار ۱ می‌توان عددی تصادفی بین ۱ و -۱- با عنوان N_T را بهصورت زیر تولید نمود:

$$N_T = \begin{cases} -1 & ; if \quad \frac{1}{3}N(0,1) < -1 \\ \frac{1}{3}N(0,1) & ; if \quad -1 < \frac{1}{3}N(0,1) < 1 \\ 1 & ; if \quad \frac{1}{3}N(0,1) > 1 \end{cases} \quad (12)$$

ورودی کنترل در طراحی کنترل مد لغزشی انتگرالی نیز بهصورت رابطه (۱۹) است.

$$\left\{ \begin{array}{l} \delta_y = \frac{I_{zz}}{QSLm_z^{\delta_y}}(\dot{r}_c - \frac{QSLm_z^{\beta}\beta}{I_{zz}} - (\beta - \beta_c) - k_5|s_1|^{2\gamma-1} \text{sgn}(s_1)) \\ \delta_z = \frac{I_{yy}}{QSLm_y^{\delta_z}}(\dot{q}_c - \frac{QSLm_y^{\alpha}\alpha}{I_{yy}} - (\alpha - \alpha_c) - k_6|s_2|^{2\gamma-1} \text{sgn}(s_2)) \\ \alpha_c = \frac{mR}{QSC_{\theta_L} c_z^\alpha}(\frac{2\dot{R}\dot{\theta}_L}{R} + \dot{\psi}_L^2 \sin(\theta_L) \cos(\theta_L) - k_1|\dot{\theta}_L|^{2\gamma-1} \text{sgn}(\dot{\theta}_L)) \\ \beta_c = \frac{mRC_{\theta_L}}{QSC_{\psi_L} c_y^\beta}(\frac{2\dot{\psi}_L \dot{\theta}_L T_{\theta_L}}{R} - \frac{2\dot{R}\dot{\psi}_L}{R} + k_2|\dot{\psi}_L|^{2\gamma-1} \text{sgn}(\dot{\psi}_L)) \\ q_c = \dot{\alpha}_c + \frac{QSC_z^{\alpha}}{mRV_M} \alpha - \frac{QSC_{\theta_L} c_z^\alpha}{mR} \dot{\theta}_L - k_3|\alpha - \alpha_c|^{2\gamma-1} \text{sgn}(\alpha - \alpha_c) \\ r_c = \dot{\beta}_c + \frac{QSC_y^{\beta}}{mRC_{\theta_L}} \dot{\psi}_L + \frac{QSC_y^{\beta}}{mR} \beta - k_4|\beta - \beta_c|^{2\gamma-1} \text{sgn}(\beta - \beta_c) \end{array} \right. \quad (18)$$

$$\left\{ \begin{array}{l} \delta_y = \frac{I_{zz}}{QSLm_z^{\delta_y}}(\dot{r}_c - \frac{QSLm_z^{\beta}\beta}{I_{zz}} - (\beta - \beta_c) - \\ k_7|q - q_c|^{2\gamma-1} \text{sign}(q - q_c) - k_5|s_{p_{ly}}|^{2\gamma-1} \text{sign}(s_{p_{ly}})) \\ \delta_z = \frac{I_{yy}}{QSLm_y^{\delta_z}}(\dot{q}_c - \frac{QSLm_y^{\alpha}\alpha}{I_{yy}} - (\alpha - \alpha_c) - \\ k_8|r - r_c|^{2\gamma-1} \text{sign}(r - r_c) - k_6|s_{p_{lz}}|^{2\gamma-1} \text{sign}(s_{p_{lz}})) \end{array} \right. \quad (19)$$

که سطح‌های لغزش از دو بخش تناصی و انتگرالی بهصورت مقابل تشکیل شده است:

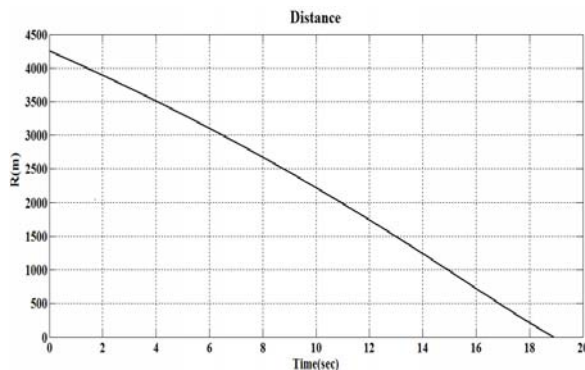
$$s_{p_l} = [s_{p_{ly}}, s_{p_{lz}}]^T$$

$$s_{p_f} = \begin{bmatrix} (q - q_c) - (q(0) - q_c(0)) + \int_{t_0}^t (k_7|q - q_c|^{2\gamma-1} \text{sgn}(q - q_c)) d\tau \\ (r - r_c) - (r(0) - r_c(0)) + \int_{t_0}^t (k_8|r - r_c|^{2\gamma-1} \text{sgn}(r - r_c)) d\tau \end{bmatrix} \quad (20)$$

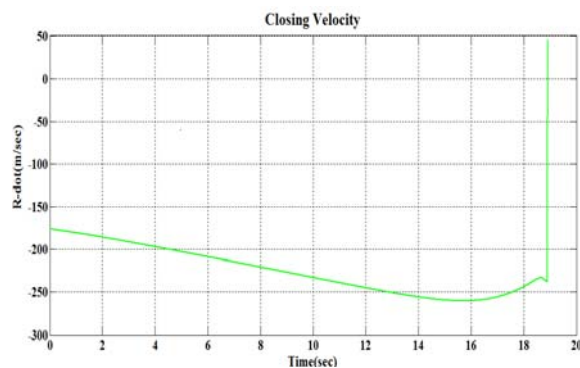
با بالاترین سرعت رهگیر نسبت به هدف بخش‌های C_{ψ_L}, C_{θ_L} در کسر معادله اول طراحی عاملی غیر صفر و عامل تکینگی نیستند [۲۵]. همچنین سرعت نسیی هدف و رهگیر برای برخورد منفی و بهصورت یک دینامیکی پایدار فرض شده است. به لحاظ تئوری انتظار می‌رود با طراحی (۲۰) سطح تلاش کنترلی بهصورت انحراف سطوح بالک‌های آبرودینامیک در حالت کنترل مد لغزشی انتگرالی نسبت به حالت معمول (۱۸) در عین برخورد با دقت بالاتر نسبت به طراحی قبلی افزایش یابد.

نتایج شبیه‌سازی

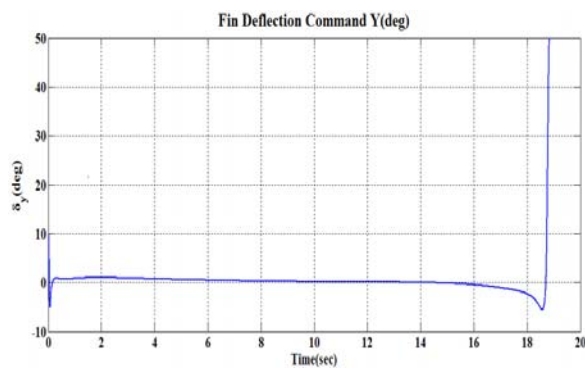
در جدول (۱) شرایط اولیه سناریوی پروازی و در جدول (۲) ضرایب آبرودینامیک رهگیر با استفاده از اطلاعات مرجع [۲۶] آورده شده و نتایج بهصورت نمودارهایی برای ارزیابی عملکرد هدایت و کنترل یکپارچه به تصویر در آمده است.



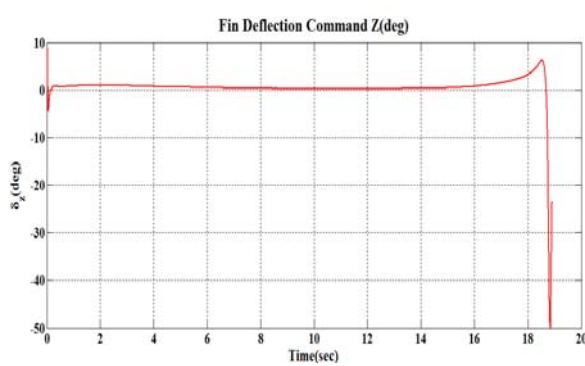
شکل ۳- نمودار فاصله نسبی رهگیر و هدف



شکل ۴- نمودار سرعت نزدیک شوندگی رهگیر و هدف

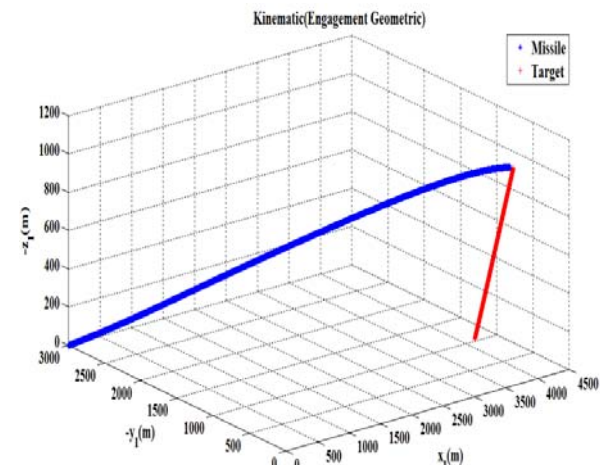


شکل ۵- نمودار انحراف سطح کنترلی بالک در کanal خمس

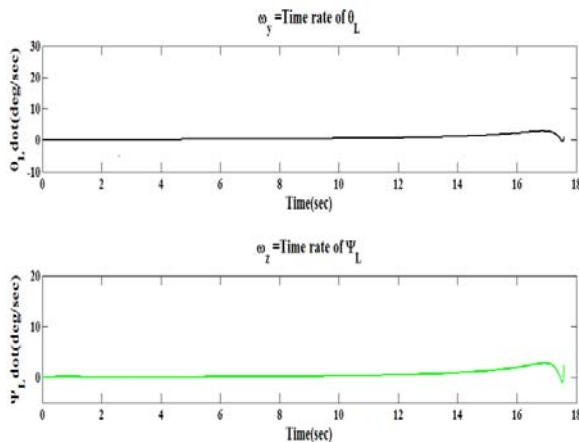


شکل ۶- نمودار انحراف سطح کنترلی بالک در کanal گردش

شکل ۲ نمایی از درگیری رهگیر و هدف را در یک فضای سه بعدی به تصویر می کشد. واضح است با توجه به سناریوی پروازی و در نظر گرفتن رفتارهای مناسب سینماتیکی موجود در نمودار شکل های (۳) و (۴) رهگیر به هدف برسخورد کرده است. نمودار شکل (۷) حاکی از آن است که برای رهگیری هدف با فاصله خط دید و سرعت عمود بر خط دید صفر همان گونه که در شکل (۲) نشان داده شده به مقدار مطلوبی از بیشینه دامنه شتاب رهگیر در دستگاه بدنی نیاز است و این می تواند توسط سازه های معمول صنعت هوا فضا به راحتی اجراشود. در این مقاله، محدودیت ۱۸g برای شتاب رهگیر درنظر گرفته شده است. نمودار شکل های (۵) و (۶) نشان می دهد سیگنال ورودی عملگر مناسب، با محدودیت سرعت ۴۰۰ درجه بر ثانیه و ثابت زمانی ۰/۰۱ ثانیه به اشباع نرفته است و برای اجرایی کردن طراحی ورودی کنترل سامانه یکپارچه به یک عملگر با مشخصات کاملاً معمولی نیاز است. توجه به نمودار شکل های (۸) و (۹) می رساند که مقدار زاویه حمله، سرش جانبی، نرخ خمش و گردش و دیگر رفتارهای دینامیکی در محدوده های بسیار مناسبی با توجه به ملاحظات آیرودینامیک و مسائل عملی هوا فضا قرار گرفته اند. نمودار شکل (۱۰) درستی طراحی زمان محدود کنترل مدد گرفته اند. نمودار شکل (۱۱) مشاهده می شود که خط دید ثابت نگه داشته شده و نرخ دوگانه چرخش خط دید حول صفر در نوسان است. به دلیل آن که درگیری رهگیر و هدف همیشه در زمان محدودی صورت می گیرد به راحتی می توان دریافت که روش طراحی زمان محدود برای طراحی هدایت و کنترل یکپارچه با درنظر گرفتن ملاحظات عملی و واقعی عملکرد مناسبی از خود به نمایش گذاشته است.



شکل ۲- نمودار درگیری رهگیر و هدف



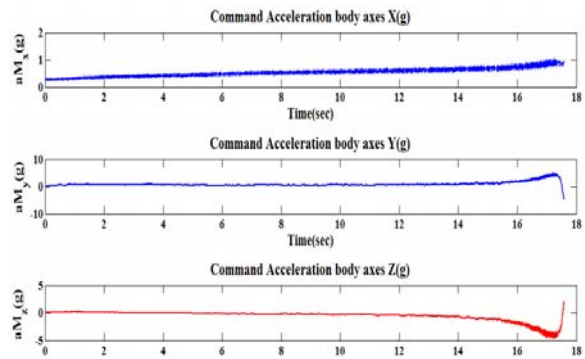
شکل ۱۱- نمودار نرخ‌های چرخش دید در دو راستای Y و Z

حال با ضرب ساریبوی شتاب اعماق هدف در عدد ۲ در هر راستا برای مقایسه عملکرد حالت‌های مد لغزشی معمولی، مد لغزشی انتگرالی و SMC IGC طراحی موجود در مرجع [۲۴] به ترتیب تحت عنوان‌های Adaptive Backstepping IIGC و شبیه‌سازی درگیری صورت می‌گیرد. نتیجه این مقایسه در دو حالت درگیری سه بعدی در جدولی به صورت زیر گردآوری شده است. توجه کنید که پارامترهای مورد نظر نظر جهت مقایسه روش عبارتند از: ۱- زمان همگرایی نرخ چرخش خط دید به سمت صفر ($t_{f\text{los}}$)؛ ۲- زمان برخورد (t_{int})؛ ۳- فاصله از دستدهی نهایی (r_{miss})؛ ۴- حداکثر دامنه انحراف بالک کنترلی (E_{def})؛ ۵- انرژی این سیگنال که به صورت انتگرال زمانی مربع سیگنال (def_{max}) ظاهر می‌شود. در جدول (۳) و در ادامه در شکل‌های (۱۲) تا (۱۶) حاصل از شبیه‌سازی می‌توان نتیجه این مقایسه را بیان کرد.

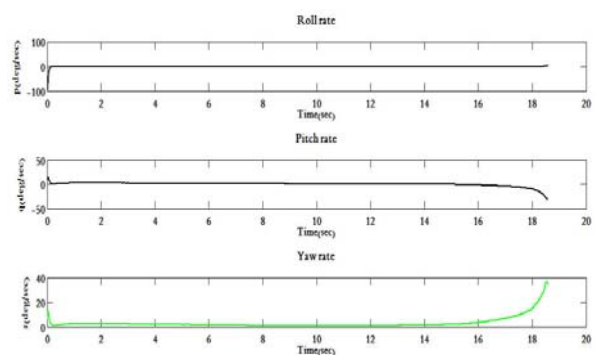
جدول ۳- مقایسه سنجه‌های عملکردی روش‌های شبیه‌سازی شده در حالت سه بعدی

E_{def} (rad ² .sec)	def_{max} (deg)	r_{miss} (m)	t_{int} (sec)	$t_{f\text{los}}$ (sec)	سنجه روش
۶۰.۴/۳۶۴	۳/۳۲	۲۶	۱۹/۱	۱۰/۶۴۴	مرجع [۲۴]
۰/۱۸۴	۲/۹۸	۰/۵۲	۱۸/۹	۶/۷۴۱	مد لغزشی
۰/۲۵۲	۱۰/۲۱	۰/۰۹	۱۸/۸	۴/۷۵۶	مد لغزشی انتگرالی

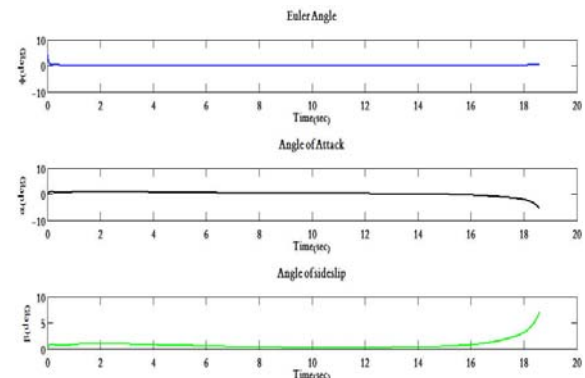
با دقت در نمودار شکل‌های (۱۲) تا (۱۶) این نکته فهمیده می‌شود که روش ارائه شده در این مقاله نسبت به مقاله مرجع اخیر دارای عملکرد بهتری است و ارزیابی پارامترهای موجود در جدول (۳) نیز این مطلب را تأیید می‌کند. از طرف دیگر طراحی هدایت و کنترل یکپارچه به کمک مد لغزشی انتگرالی اگرچه به برخورد با دقت بالاتر و سریع‌تر منجر می‌شود اما این امر هزینه افزایش در دامنه و انرژی تلاش کنترلی



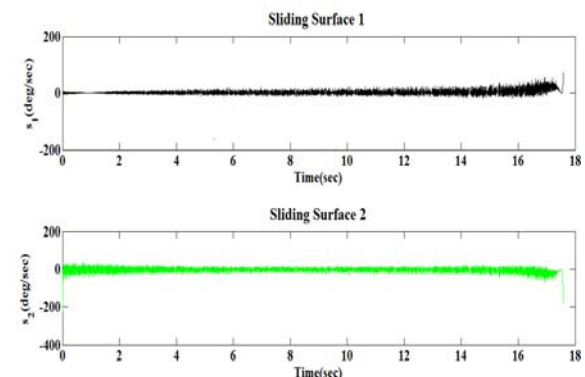
شکل ۷- نمودار شتاب اعمالی توسط کنترل آبرو دینامیک در سه راستای دستگاه بدنی بر حسب شتاب جاذبه



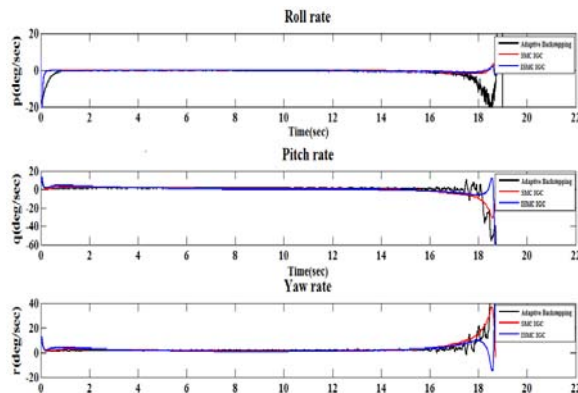
شکل ۸- نمودار نرخ غلتش، خمش و گردش در طول زمان پرواز



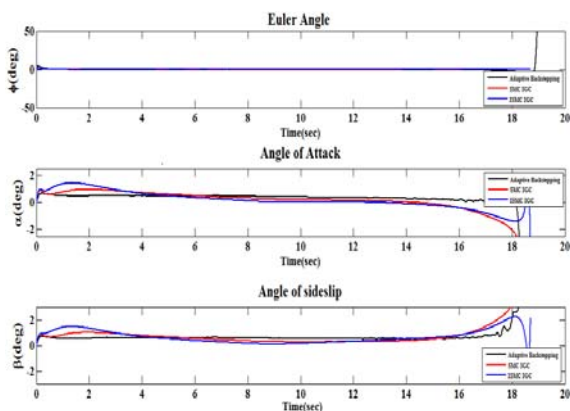
شکل ۹- نمودار زاویه غلتش، حمله و سرش جانبی



شکل ۱۰- نمودار سطوح‌های لغزش انتخابی بر حسب زمان



شکل ۱۵- نمودار نرخ زمانی غتشن، خمش و گردش

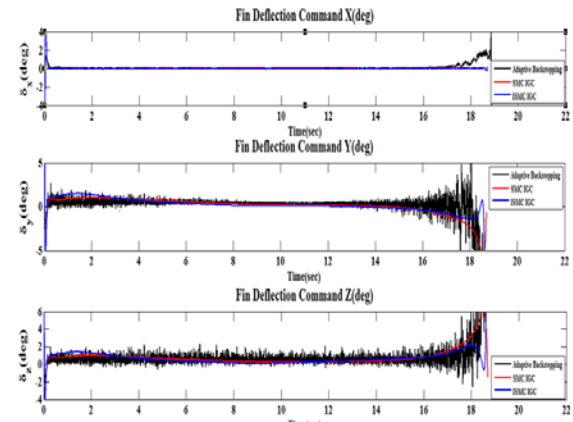


شکل ۱۶- مقایسه نمودارهای زاویه اویلر، حمله و سرش جانبی در حالت‌های یادشده

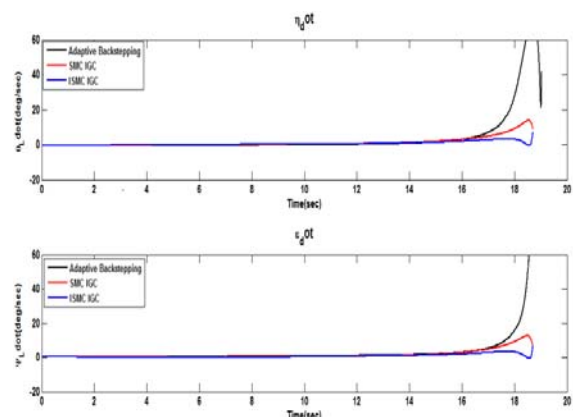
نتیجه‌گیری

در این مقاله، مدل‌سازی یکپارچه برای اعمال روش طراحی ارائه شد. انتخاب سطح لغش مناسب با ردیابی نرخ خمش و گردش با به توجه اصل خط دید ثابت انجام شد. طراحی به کمک ترکیبی از روش‌های مد لغشی و گام به عقب با اثبات همگرایی زمان محدود با خاصیت مقاوم بودن در مقابل نامعینی و اغتشاش صورت گرفته و برخورد سر به سر را رقم زده و ملاحظات عملی و سادگی روش طراحی را با هم درنظر گرفته است. جالب توجه آن که روش فوق به مقدار یا تخمین مانور هدف برای محاسبه ورودی کنترل نیازی ندارد و انرژی مصرفی توسط عملگر به شدت کاهش یافته و سیگنال ورودی عملگر بالک آبرودینامیکی برای اجرا توسط یک نمونه خیلی معمولی ایده‌آل است. توجه کنید که مقادیر مشخصه‌های رهگیر در محدوده بسیار مطلوبی‌اند. توجه کنید فرض شده است که اندازه‌گیری‌های متغیرهای سینماتیکی و دینامیکی مورد استفاده در طراحی قانون کنترل برای سامانه هدایت و کنترل یکپارچه بهصورتی که در رابطه (۲۲) آمده

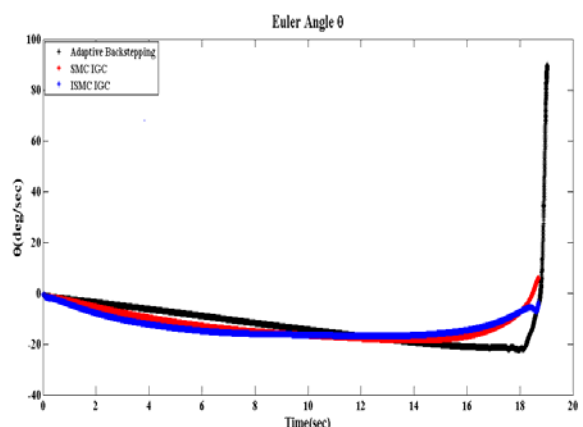
سطح آبرودینامیکی بالک‌ها را به همراه خواهد داشت. طراحی در دو حالت کنترل مد لغشی برخلاف طراحی موجود در [۲۴] که دارای همگرایی مجانبی است، به همگرایی زمان محدود منجر می‌شوند.



شکل ۱۷- مقایسه نمودارهای انحراف بالک آبرودینامیک در کاتال‌های سه‌گانه برای طراحی مرجع [۲۵] و طراحی کنترل مد لغشی و کنترل مد لغشی انتگرالی در درگیری سه‌بعدی



شکل ۱۸- مقایسه نمودارهای نرخ چرخش خط دید در حالت‌های یادشده



شکل ۱۹- نمودار زاویه دوران اویلر حول محور عرضی در دستگاه اینرسی (تکینگی در ۹۰ درجه)

- [3] Shkolnikov, I., Shtessel, Y. and Lianos, D., “Integrated Guidance-Control System of a Homing Interceptor Sliding Mode Approach,” *Presented as Paper AIAA, 2001-4218 at the AIAA Guidance, Navigation, and Control Conference and Exhibit*, August, 2001.
- [4] Shtessel, Y. and Buffington, J., “Continuous Sliding Mode Control,” *Proceedings of the American Control Conference*, 1998.
- [5] Brown, M., Shtessel, Y. and Buffington, J., “Finite Reaching Time Continuous Sliding Mode Control with Enhanced Robustness,” *Proceedings of the AIAA Guidance, Navigation, and Control Conference*, Denver, CO, August, 2000.
- [6] Shtessel, Y., Shkolnikov, I. and Brown, M., “An Asymptotic Second Order Smooth Sliding Mode Control,” *Asian Journal of Control*, Vol. 5, No. 4, 2003, pp. 498 – 504.
- [7] Shtessel, Y. and Shkolnikov, I., “Integrated Guidance and Control of Advanced Interceptors using Second Order Sliding Modes,” *Proceedings of the 42nd IEEE Conference on Decision and Control*, 2003.
- [8] Shtessel, Y., Shkolnikov, I. and Levant, A., “Guidance and Control of Missile Interceptor using Second-Order Sliding Modes,” *IEEE Transactions on Aerospace and Electronic Systems*, Vol. 45, No. 1, 2009, pp. 110-124.
- [9] Shtessel, Y. and Tournes, C., “Integrated Higher-Order Sliding Mode Guidance and Autopilot for Dual-Control Missiles,” *Journal of Guidance, Control, and Dynamics*, Vol. 32, No. 1, 2009.
- [10] Shima, T., Idan, M. and Golan, O., “Sliding-Mode Control for Integrated Missile Autopilot Guidance,” *Presented as Paper AIAA-2004-4884 at the AIAA Guidance, Navigation, and Control Conference and Exhibit*, August 2004.
- [11] Chen, H., Dong, C. and Wang, Q., “Integrated Guidance and Control Backstepping Design Based on Integral Sliding Mode Surface for Missiles,” *Presented as Paper 33rd Chinese Control Conference*, July, Nanjing, China, 2014.
- [12] Mohammadzaman, I. and Momeni, H.R., “Short Time Stability Approach to Guidance Law Design,” *Journal of Space Science and Technology*, Vol. 3, No.2, 2010, pp. 37-44 (In Persian).
- [13] Slotine, J. J. E. and Li, W., *Applied Nonlinear Control*, Prentice-Hall, Upper Saddle River, NJ, 1991, pp. 276–309.
- [14] Khalil, H. K., *Nonlinear Systems*, 3rd edition [M], New Jersey, Prentice-Hall, Chap 4, 2002.
- [15] Moon, J., and Kim, Y., “Design of Missile Guidance Law Via Variable Structure Control,” *Proceedings of AIAA Guidance, Navigation and Control Conference*, Denver, CO, 2000, Paper AIAA-2000-4068.
- [16] Hong, Y.G., “Finite Time Stabilization and Stabilizability of a Class of Controllable Systems,” *Systems & Control Letters*, Vol. 46, No. 4, 2002, pp. 231–236.
- [17] Shtessel, Y., Shkolnikov, I., and Brown, M., “An Asymptotic Second Order Smooth Sliding Mode Control,” *Asian Journal of Control*, Vol. 5, No. 4, 2003, pp. 498 – 504.
- [18] Shtessel, Y. and Shkolnikov, I., “Integrated Guidance and Control of Advanced Interceptors using Second Order Sliding Modes.” *Proceedings of the 42nd IEEE Conference on Decision and Control*, December, 2003.

است، به کمک یک جستجوگر رادیویی و حسگرهای اینرسی در دسترس هستند. همچنین از نمودارهای اخیر فهمیده می‌شود که طراحی هدایت و کنترل یکپارچه نسبت به مراجع گذشته از جهت خصوصیات سینماتیک درگیری و رفتارهای دینامیکی دارای عملکرد بهتری بوده و در حالت طراحی به کمک کنترل مدل‌لغزشی انتگرالی اگرچه به برخورد رهگیر با هدف طی زمان درگیری کمتری منجر می‌شود؛ اما به افزایش هزینه دائمۀ تلاش کنترلی و نیز انرژی این سیگنال می‌انجامد. از طرف دیگر با توجه به محدود بودن زمان و طبیعت درگیری رهگیر با هدف برخلاف همگرایی مجانی مرجع [۲۵] روش استفاده شده دارای همگرایی زمان محدود است. با توجه به طبیعت درگیری در پژوهش‌های آینده بهره‌گیری از دیگر روش‌های با همگرایی زمان محدود پیشنهاد می‌شود.

پیوست: محاسبه ورودی‌های دوگانه کنترل

برای محاسبه ورودی‌های کنترل باید مشتقات $(\dot{\alpha}_c, \dot{q}_c, \dot{\beta}_c, \dot{r}_c)$ متغیرهای مطلوب مجازی (با اندیس c) محاسبه شود. این پارامترها با درنظر گرفتن روابط سینماتیک و دینامیک (۱۴) و درنظر گرفتن روابط ورودی‌های حقیقی و مجازی طراحی شده (۱۷) قابل محاسبه است [۲۶] که در اینجا بدليل حجمی بودن از بیان دقیق جملات آن خودداری شده و فقط به بیان این نکته خواهیم پرداخت که برای اعمال ورودی کنترل به چه متغیرهای سینماتیکی و دینامیکی نیاز است.

$$\delta_x = f_{\delta_x}(\phi, p, Q); \sin(\theta_L) \approx 0, \cos(\theta_L) \approx 1$$

$$\begin{cases} \alpha_c, \beta_c = f_{\alpha_c, \beta_c}(m, Q(h, \rho_{air}, V_M), R, \dot{R}, \dot{\theta}_L, \dot{\psi}_L) \\ \rightarrow \dot{\alpha}_c, \dot{\beta}_c, q_c, r_c = f_{\dot{\alpha}_c, \dot{\beta}_c, q_c, r_c}(m, Q(h, \rho_{air}, V_M), R, \dot{R}, \dot{\theta}_L, \dot{\psi}_L, \alpha, \beta) \\ \dot{q}_c, \dot{r}_c = f_{q_c, r_c}(m, Q(h, \rho_{air}, V_M), R, \dot{R}, \dot{\theta}_L, \dot{\psi}_L, \alpha, \beta, q, r) \end{cases}$$

$$\begin{cases} \delta_y = f_{\delta_y}(m, Q(h, \rho_{air}, V_M), R, \dot{R}, \dot{\theta}_L, \dot{\psi}_L, \alpha, \beta, q, r, t, c) \\ \delta_z = f_{\delta_z}(m, Q(h, \rho_{air}, V_M), R, \dot{R}, \dot{\theta}_L, \dot{\psi}_L, \alpha, \beta, q, r, t, c) \end{cases} \quad (۲۲)$$

پس به کمک یک جستجوگر رادیویی، حسگرهای اینرسی و همچنین زمان‌سنج و دماستج‌های با دقت‌های معمولی (برای سامانه پیشراش) این روش می‌تواند بازده مناسبی را در رقم زدن یک برخورد سر به سر در رهگیری یک هدف چاپک با مانور بالا را داشته باشد.

مراجع

- [1] Zarchan, P., *Tactical and Strategic Missile Guidance*, AIAA, 2002, pp Reston.
- [2] Nathan, H., Balakrishnan, S.N. and Craig, P., “Sliding Mode Integrated Missile Guidance and Control,” *AIAA Guidance, Navigation, and Control Conference*, Toronto, Ontario Canada, August 2010.

- [29] Ozgoli, S. and Arvan, M.R., *Modeling and Simulation of Moving Systems*, Ya Mahdi Publication, 2010 (In Persian).
- [30] Arvan, M.R., Modeling of Electro-Optical Seeker and Line of Sight Rate Estimation in the Presence of Disturbances, (PhD Thesis), KN Toosi University, 2006 (In Persian).
- [31] Arora, V.K., Former Director Defence Science Centre Delhi, *Proximity Fuze Theory and Techniques*, Defence Research and Development Organization Ministry of Defence NEwDELm-110 105 2010.
- [32] Siouris, G. M., *Missile Guidance and Control Systems*, Springer-Verlog Publisher, 2004.
- [33] Kahvecioglu, A., Tool for Designing Robust Autopilot for Ramjet Missiles, (M. Sc. Thesis), The Graduate School of Natural and Applied Sciences of The Middle East Technical University, 2006.
- [34] Theodoulis, S. and Duc, G., "Missile Autopilot Design Gain Scheduling and the Gap Metric," *Journal of Guidance, Control and Dynamics*, Vol. 32, No. 3, 2002, pp. 986 -996.
- [35] Mingzhe, H., Xiaoling, L. and Guangren, D., "Adaptive Block Dynamic Surface Control for Integrated Missile Guidance and Autopilot," *Chinese Journal of Aeronautics*, Vol. 26, Issue 3, 2013, Pages 741-750.
- [36] Fridman, L., Iriarte, R. and Moreno, J., *Sliding Modes after the First Decade of the 21st Century*, Springer-Verlag Berlin Heidelberg, 2011.
- [37] Eker, I., "Sliding mode control with PID Sliding Surface and Experimental Application to an Electromechanical Plant," *ISA Transactions*, Vol. 45, Issue 1, 2006, pp. 109–118.
- [38] Rubagotti, M., Estrada, A., Castanos, F., Ferrara, A. and Fridman, L., "Integral Sliding Mode Control for Nonlinear Systems With Matched and Unmatched Perturbations," *IEEE Transactions on Automatic Control*, Vol. 56, Issue 11, 2011, pp. 2699 – 2704.
- [19] Shtessel, Y., Shkolnikov, I., and Levant, A., "Guidance and Control of Missile Interceptor using Second-Order Sliding Modes," *IEEE Transactions on Aerospace and Electronic Systems*, Vol. 45, No. 1, 2009, pp. 110-124.
- [20] Shtessel, Y. and Tournes, C., "Integrated Higher-Order Sliding Mode Guidance and Autopilot for Dual-Control Missiles," *Journal of Guidance, Control, and Dynamics*, Vol. 32, No. 1, 2009, pp. 79-94
- [21] Shima, T., Idan, M. and Golan, O., "Sliding-Mode Control for Integrated Missile Autopilot Guidance," *Presented as Paper AIAA-2004-4884 at the AIAA Guidance, Navigation, and Control Conference and Exhibit*, August 2004.
- [22] Chen, H., Dong, C. and Wang, Q., "Integrated Guidance and Control Backstepping Design Based on Integral Sliding Mode Surface for Missiles," *Presented as Paper 33rd Chinese Control Conference*, Nanjing, China, July 2014.
- [23] Mohammadzaman, I. and Momeni, H.R., "Short Time Stability Approach to Guidance Law Design," *Journal of Space Science and Technology*, Vol. 3, No.2, 2010, pp. 37, 44 (In Persian).
- [24] Slotine, J. J. E. and Li, W., *Applied Nonlinear Control*, Prentice-Hall, Upper Saddle River, NJ, 1991, pp. 276–309.
- [25] Khalil, H. K., *Nonlinear Systems*, 3rd edition [M], New Jersey, Prentice-Hall, Chap 4, 2002.
- [26] Moon, J. and Kim, Y., "Design of missile guidance law via variable structure Control," *Proceedings of AIAA Guidance, Navigation and Control Conference*, Denver, CO, 2000, Paper AIAA-2000-4068.
- [27] Hong, Y.G., "Finite Time Stabilization and Stabilizability of a Class of Controllable Systems," *Systems & Control Letters*, Vol. 46, No. 4, 2002, pp. 231–236.
- [28] Qian, C., Lin, W., "Non-Lipschitz Continues Stabilizer For nonlinear Systems with Uncontrollable Unstable Linearization," *System and Control Letters*, Vol. 42, Issue 3, 2001, pp.185-200.